

УДК 539.32

## ПРИРОДА ДВУПРЕЛОМЛЕНИЯ И УПРУГООПТИЧЕСКИЕ СВОЙСТВА ОРТОФЕРРИТОВ

*A. С. Москвин, Д. Г. Латыпов, В. Г. Гудков*

На основе простой деформационной модели, свлзывающей анизотропию поляризуемости комплексов  $\text{FeO}_8^+$  с их деформацией по отношению к идеальному октаэдру, объяснены наблюдаемые особенности естественного двупреломления ортоферритов  $\text{RFeO}_3$ , а также рассчитаны упругооптические константы и магнитоупругооптический эффект в ортоферрите  $\text{YFeO}_3$ . Показана важная роль в упругооптических и магнитоупругооптических эффектах скрытых смещений подрешеток. Их учет приводит к перенормировке упругооптических констант, достигающей в ряде случаев 50 %, а также к появлению наряду с чисто магнитострикционным конкурирующим с ним по величине дополнительного вклада магнитоупругих смещений в магнитное двупреломление.

Проведен количественный расчет магнитоупругооптического вклада в изменение двупреломления ортоферрита  $\text{YFeO}_3$  при спин-переориентационном переходе  $\Gamma_4 \rightarrow \Gamma_2$ . Хорошее согласие с экспериментом позволяет сделать вывод о превалирующей роли магнитоупругооптического эффекта в магнитном двупреломлении  $\text{YFeO}_3$ .

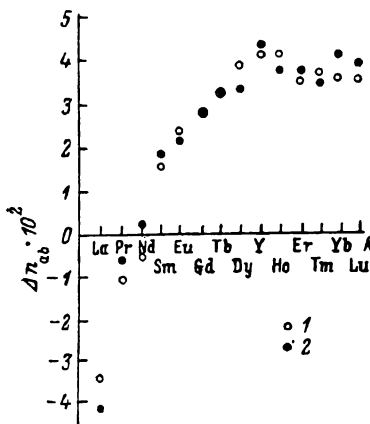
### 1. Кристаллическая и магнитная структура ортоферритов

Редкоземельные ортоферриты  $\text{RFeO}_3$  относятся к группе окислов с искаженной структурой перовскита (пространственная группа  $D_{2h}^{16}$  [1]). Для структуры  $\text{RFeO}_3$  характерны небольшие искажения кислородных октаэдров, окружающих ионы  $\text{Fe}^{3+}$ , и сильное искажение кислородного окружения ионов  $\text{R}^{3+}$ . Кристаллографическая элементарная ячейка содержит четыре формульные единицы  $\text{RFeO}_3$ . Основные искажения идеальной перовскитной структуры в ортоферритах можно свести к разворотам кислородных октаэдров относительно их центров — ионов  $\text{Fe}^{3+}$  — на углы  $\sim 10^\circ$  и небольшим деформациям октаэдров, а также к смещениям ионов  $\text{R}^{3+}$  в  $ab$ -плоскости. В магнитном отношении редкоземельные ортоферриты являются неколлинеарными антиферромагнетиками с взаимодействием Дзялошинского [2, 3]. Для описания магнитной структуры  $d$ -подрешетки используются базисные векторы  $F, G, C, A$  — линейные комбинации магнитных моментов (спинов) ионов  $\text{Fe}^{3+}$ , причем  $F, C, A \sim 10^{-2} G$ .

### 2. Деформационная модель естественного двупреломления ортоферритов

Редкоземельные ортоферриты являются оптически двухосными кристаллами с довольно большим естественным двупреломлением ( $\Delta n \geq 10^{-2}$ ) и потенциально большим фарадеевским вращением  $\theta_F \sim 10^8$  град/см [4, 5]. Сравнительный анализ численных величин, дисперсионных зависимостей двупреломления редкоземельных ортоферритов  $\text{RFeO}_3$  с  $4f$ -ионами и ортоферрита  $\text{YFeO}_3$  [6] показывает, что большое естественное двупреломление, наблюдавшееся в ортоферритах при  $T=300$  К, связано в основном с  $d$ -подрешеткой. Действительно, зависимость двупреломления в  $ab$ -плоскости ( $\Delta n_{ab} = n_a - n_b$ ) от длины волны, согласно [6], во всех ортоферритах подобна зависимости  $\Delta n_{ab}(\lambda)$  в  $\text{YFeO}_3$ . Кроме того, величины  $\Delta n_{ab}$  при  $T=$

=300 K,  $\lambda=0.6$  мкм в  $\text{YFeO}_3$  и ортоферритах  $\text{Tb}$ ,  $\text{Dy}$ ,  $\text{Ho}$ ,  $\text{Er}$ , являющихся его «ближайшими соседями» в ряду, близки между собой. Дисперсия оптических осей в  $\text{YFeO}_3$  и  $\text{DyFeO}_3$ , по данным [7], практически одинакова. Оптические оси в ортоферритах  $\text{Sm}$ ,  $\text{Eu}$ ,  $\text{Tb}$ ,  $\text{Dy}$ ,  $\text{Yb}$  и  $\text{Y}$  расположены также практически одинаково [6, 7] под углом  $\pm 50^\circ$  от оси  $C$  в  $bc$ -плоскости ( $\lambda=0.68$  мкм). Свообразно изменение естественного двупреломления по ряду от  $\text{LaFeO}_3$  к  $\text{LuFeO}_3$  — двупреломление в  $ab$ -плоскости ( $T \sim 300$  K) меняется не только по величине, но и по знаку [6, 6] (рис. 1). Учитывая малость прямого вклада  $R$ -подрешетки в двупреломление в этой области температур, естественно связать характер изменения  $\Delta n_{ab}$  с изменением орторомбических искажений перовскитной структуры  $\text{RFeO}_3$ , а значит, и низкосимметричного кристаллического поля для ионов  $\text{Fe}^{3+}$  при переходе  $\text{LaFeO}_3 \rightarrow \text{LuFeO}_3$ . Такой механизм косвенного влияния  $R$ -ионов (через структурные искажения) на двупреломление  $\text{RFeO}_3$  качественно обсуждался ранее в [8]. Ниже мы рассмотрим простую количественную теорию двупреломления  $\text{RFeO}_3$ , в основу которой положим



связь поляризуемости комплексов  $\text{FeO}_6^{9-}$  с их деформацией по отношению к идеальному октаэдру (деформационная модель) [9]. Для симметричной части тензора поляризуемости

$$\alpha_{ij} = \begin{cases} p_E \epsilon_{ij}, & i=j, \\ p_{T_2} \epsilon_{ij}, & i \neq j. \end{cases} \quad (1)$$

Рис. 1. Двупреломление ортоферритов  $\text{RFeO}_3$  в  $ab$ -плоскости.

1 — теоретический расчет в деформационной модели,  
2 — экспериментальные данные.

где  $\epsilon_{ij}$  — тензор деформации комплекса  $\text{FeO}_6^{9-}$  ( $\text{Sp } \hat{\epsilon} = 0$ );  $p_{E, T_2}$  — упругооптические константы, связывающие поляризуемость с  $E$ -деформациями ( $i=j$ : растяжения—сжатия связей  $\text{Fe}^{3+}-\text{O}^{2-}$ ) или  $T_2$ -деформациями комплекса ( $i \neq j$ : изменение углов между связями  $\text{Fe}^{3+}-\text{O}^{2-}$ ). Соотношение (1) справедливо в локальной системе координат октаэдра  $\text{FeO}_6^{9-}$ . В системе  $abc$ -осей оно будет выглядеть как

$$\alpha_{ij} = p_E \epsilon_{ij}^E + p_{T_2} \epsilon_{ij}^{T_2}, \quad (2)$$

где  $\epsilon_j^E$  и  $\epsilon_{ij}^{T_2}$  — компоненты тензора  $E$ - и  $T_2$ -деформаций октаэдра соответственно в  $abc$ -системе. Компоненты тензоров  $\hat{\epsilon}^E$  и  $\hat{\epsilon}^{T_2}$  для 4-х различных комплексов  $\text{FeO}_6^{9-}$  в элементарной ячейке  $\text{RFeO}_3$  могут, вообще говоря, различаться знаком [10].

Переходя к диэлектрической проницаемости  $\hat{\epsilon}$  и проводя суммирование по всем позициям ионов  $\text{Fe}^{3+}$ , получим отличными от нуля только диагональные компоненты  $\hat{\epsilon}$

$$\epsilon_{ii} = p_E \epsilon_{ii}^E + p_{T_2} \epsilon_{ii}^{T_2}, \quad (3)$$

где  $P_{E, T_2} = 4\pi N ((n_0^2 + 2)/3)^2 p_{E, T_2}$ ,  $N$  — число  $\text{Fe}^{3+}$ -ионов в 1 см<sup>3</sup>. Компоненты тензоров  $\hat{\epsilon}^E$ ,  $\hat{\epsilon}^{T_2}$  играют роль структурных факторов и могут быть рассчитаны для ортоферритов с учетом известных компонент тензора локальных деформаций октаэдров  $\text{FeO}_6^{9-}$  и углов Эйлера для перехода от локальной к  $abc$ -системе [10]. Таким образом, соотношение (3) дает двухпараметрическую формулу для двупреломления ортоферритов, связывающего его с орторомбическими искажениями кристаллической структуры. Упругооптические константы  $P_E$ ,  $P_{T_2}$  могут быть найдены из срав-

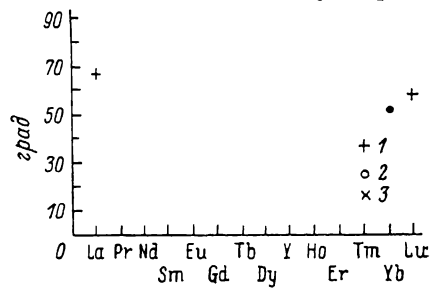
$$\Delta n_{ab} = \frac{1}{2n_0} [P_E (\epsilon_{xx}^E - \epsilon_{yy}^E) + P_{T_2} (\epsilon_{xx}^{T_2} - \epsilon_{yy}^{T_2})], \quad (4)$$

рассматриваемой как зависимость от типа ортоферрита, с известными экспериментальными данными [5, 6]. На рис. 1 приведены экспериментальные и рассчитанные по (4) значения  $\Delta n_{ab}$  при  $P_E = 6.2n_0$ ,  $P_{T_2} = 4.0n_0$ , полученных из подгонки по методу наименьших квадратов. В [9] ошибочно взят неверный знак  $\Delta n_{ab}$ , так что параметры  $P_{E,T_2}$ , здесь и работы [9] различаются знаком. Достаточно убедительное согласие двухпараметрической формулы (4) с экспериментом свидетельствует в пользу деформационной модели двупреломления.

Используя найденные значения  $P_{E,T_2}$ , мы можем объяснить наблю-

Рис. 2. Положение оптических осей в  $R\text{FeO}_3$ .

1 — *ab*-плоскость, 2 — *bc*-плоскость, 3 — *ac*-плоскость. Точки — экспериментальные данные.



даемые особенности двупреломления ортоферритов в других плоскостях, в частности, положение оптических осей [6, 7]. На рис. 2 представлены предсказываемые деформационной моделью значения углов  $\theta_{ac}$ ,  $\theta_{bc}$ ,  $\varphi_{ab}$ , определяющих положение оптических осей в соответствующих плоскостях для  $R\text{FeO}_3$ . Здесь же приведены немногочисленные экспериментальные данные по ортоферритам Eu, Tb, Dy, Y, Tm, Yb [6, 7]. Таким образом, деформационная модель при всей ее простоте в целом правильно передает основные особенности естественного двупреломления ортоферритов. Более того, деформационная модель дает основу для анализа упругооптических и магнитоупругооптических эффектов в ортоферритах.

### 3. Упругооптические эффекты в ортоферритах

Изменение температуры, давления, внешнего магнитного поля сопровождается изменением упругого состояния кристаллической решетки, что влечет за собой, в частности, изменение оптической анизотропии. Упругое состояние решетки характеризуется тензором макроскопической деформации  $\epsilon$ , а также смещениями подрешеток, не связанных явно с изменением макроскопических размеров кристалла — скрытыми смещениями. На важную роль скрытых смещений в упругооптических явлениях указывалось в ряде работ [11, 12]. Связь компонент тензора диэлектрической проницаемости  $\epsilon_{ij}(\Gamma_y)$  с макродеформациями решетки  $\epsilon_{kl}(\Gamma_y)$  и симметризованными смещениями  $u_n(\Gamma_y)$ , принадлежащие базису неприводимого представления  $\Gamma_y$  группы  $D_{2h}^{16}$  ( $k=0$ ), представим в виде

$$\epsilon_{ij}(\Gamma_y) = \epsilon_{ij}^0(\Gamma_y) + P_{ijkl}^0(\Gamma_y) \epsilon_{kl}(\Gamma_y) + P_{ij}^n(\Gamma_y) u_n(\Gamma_y), \quad (5)$$

где  $P_{ijkl}^0$  и  $P_{ij}^n$  — тензоры упругооптических констант, индекс  $n$  нумерует различные смещения,  $\epsilon_{ij}^0$  — тензор диэлектрической проницаемости в отсутствие  $\epsilon$  и  $u_n$ .

Для расчета констант  $P_{ijkl}^0$  и  $P_{ij}^n$  можно воспользоваться деформационной моделью двупреломления. Действительно, основное соотношение (2) деформационной модели определяет физический смысл параметров  $P_E$  и  $P_{T_2}$ , как упругооптических констант. Необходимо только учесть, что соотношение (2) имеет простой вид в локальной системе координат комплекса  $\text{FeO}_6^-$ . Это обстоятельство приводит к следующей процедуре расчета упругооптических констант  $P_{ijkl}^0$  и  $P_{ij}^n$ . 1) Необходимо найти ло-

кальные деформации комплексов  $\text{FeO}_6^{3-}$   $E$ - и  $T_2$ -типа как функции макро-деформации  $\epsilon$  и смещений  $u_n$ . 2) Затем найденные величины  $\epsilon_{ij}^E$  и  $\epsilon_{ij}^{T_2}$  из локальной системы координат комплекса  $\text{FeO}_6^{3-}$  перевести в  $abc$ -систему и подставить в соотношение (3). 3) Полученная линейная связь  $\epsilon_{ij}$  с макро-деформациями и смещениями сравнивается с (5), что и позволяет найти все упругооптические константы  $P_{ijkl}^0$  и  $P_{ij}^n$  как функции двух параметров  $P_E$  и  $P_{T_2}$ .

Связь тензора микродеформации комплексов  $\text{FeO}_6^{3-}$  со смещениями ионов  $\text{O}^{2-}$  определяется простым соотношением

$$\epsilon_{mn} = \frac{1}{4l^2} \sum_y (R_m^y u_n^y + u_m^y R_n^y), \quad (6)$$

где  $R^y$  — радиус-вектор связи  $\text{Fe}^{3+}-\text{O}^{2-}$ ;  $u^y$  — вектор смещения иона  $\text{O}^{2-}$ ;  $l$  — средняя длина связи  $\text{Fe}^{3+}-\text{O}^{2-}$ ; суммирование в (6) проводится по всем 6 ближайшим к иону  $\text{Fe}^{3+}$  ионам  $\text{O}^{2-}$ . Алгоритм расчета упругооптических констант  $P_{ijkl}^0$  и  $P_{ij}^n$  реализован в [9] для ортоферрита  $\text{YFeO}_3$ . В табл. 1 приведены численные значения упругооптических констант типа  $P_{ijkl}^0$  (использованы обозначения Фойгта). Полагая, что упругооптические константы  $\text{NdFeO}_3$  и  $\text{YFeO}_3$  близки и слабо зависят от температуры, приведем полученную нами оценку изменения компонент тензора диэлектрической проницаемости  $\text{NdFeO}_3$  при охлаждении от 293 до 8 К, используя результаты нейтронографических исследований кристаллической структуры  $\text{NdFeO}_3$  [18] и значение упругооптических констант для ортоферрита  $\text{YFeO}_3$  [9]:  $\Delta \epsilon_{xx} = -(0.1-0.6) \cdot 10^{-3} n_0$ ,  $\Delta \epsilon_{yy} = +(8.5+8.6) \cdot 10^{-3} n_0$ ,  $\Delta \epsilon_{zz} = -(8.4+9.3) \cdot 10^{-3} n_0$ . Здесь первое слагаемое — вклад макроскопической деформации, второе — вклад скрытых смещений ионов  $\text{O}^{2-}$ . Во всех компонентах тензора  $\epsilon$  второе слагаемое оказывается даже больше первого, т. е. преенебрежение вкладом скрытых смещений в данном случае недопустимо. Интересно, что теория предсказывает большое изменение двупреломления  $\Delta n$  в  $\text{NdFeO}_3$  при охлаждении:  $\Delta n_{ab} = -0.9 \cdot 10^{-2}$ ,  $\Delta n_{bc} = +1.7 \cdot 10^{-2}$ ,  $\Delta n_{ac} = 0.8 \cdot 10^{-2}$ , сравнимое с двупреломлением при комнатной температуре [5].

Таблица 1  
Упругооптические константы для  $\text{YFeO}_3$   
(в единицах  $n_0$ )

| $P_{\alpha\beta}$ | $P_{\alpha\beta}^0$ [9] | $\Delta P_{\alpha\beta}$ | $P_{\alpha\beta}$ | $\delta_{\alpha\beta} \cdot 10^4$ |
|-------------------|-------------------------|--------------------------|-------------------|-----------------------------------|
| $P_{11}$          | 3.07                    | 0.30                     | 3.37              | 0.13                              |
| $P_{12}$          | -1.26                   | 0.00                     | -1.26             | 0.16                              |
| $P_{13}$          | -1.85                   | -0.11                    | -1.96             | -0.29                             |
| $P_{21}$          | -1.26                   | -0.71                    | -1.97             | -0.33                             |
| $P_{22}$          | 3.21                    | 0.20                     | 3.41              | -0.37                             |
| $P_{23}$          | -1.95                   | -0.77                    | -2.72             | 0.70                              |
| $P_{31}$          | -1.85                   | 0.41                     | -1.44             | 0.20                              |
| $P_{32}$          | -1.95                   | -0.20                    | -2.15             | 0.21                              |
| $P_{33}$          | 3.77                    | 0.87                     | 4.64              | -0.42                             |
| $P_{44}$          | 4.20                    | -0.39                    | 3.81              | -0.33                             |
| $P_{55}$          | 4.50                    | -0.38                    | 4.12              | -0.58                             |
| $P_{66}$          | 5.60                    | 0.07                     | 5.67              | -0.18                             |

При отсутствии прямого внешнего (по отношению к упругой подсистеме) воздействия на скрытые смещения, т. е. при отсутствии линейных по  $u_n$  слагаемых в свободной энергии гармонического кристалла, скрытые смещения связаны с макродеформациями соотношением [14]

$$u_n(\Gamma_y) = A_{ij}^n(\Gamma_y) \epsilon_{ij}(\Gamma_y), \quad (7)$$

где  $A_{ij}^n$  — компоненты так называемого тензора внутренних напряжений. Естественно, что в этом случае третье слагаемое в (5) можно свести ко второму, перенормировав упругооптические константы  $P_{ijkl}$

$$P_{ijkl} = P_{ijkl}^0 + \Delta P_{ijkl}, \quad \Delta P_{ijkl} = \sum_n P_{ij}^n(\Gamma_s) A_{kl}^n(\Gamma_s). \quad (8)$$

Используя результаты модельного расчета компонент тензора внутренних напряжений, выполненного в [14] для ортоферрита  $\text{TmFeO}_3$ , и предполагая, что в силу близости параметров  $\text{TmFeO}_3$  и  $\text{YFeO}_3$  величины  $A_{ij}^n$ , для них также близки, мы рассчитали величины  $\Delta P_{ijkl}$  для  $\text{YFeO}_3$ . Они приведены в табл. 1. Сравнивая величины  $P_{ijkl}^0$  и  $\Delta P_{ijkl}$ , видим, что перенормировка упругооптических констант, обусловленная учетом вклада скрытых смещений, существенна и в ряде случаев ( $P_{21}$ ) превышает 50 % от величины константы  $P_{ijkl}^0$ .

#### 4. Магнитоупругооптические эффекты в ортоферритах

Изменение магнитного состояния кристалла сопровождается макроскопическими деформациями и скрытыми смещениями подрешеток, а значит, и изменением диэлектрической проницаемости. Взаимодействие магнитной и упругой подсистем — магнитоупругое взаимодействие в ортоферритах — представим в виде

$$\Phi_{my} = A_{ijkl}^0 \epsilon_{ij} G_k G_l + B_{kl}^m(\Gamma_s) u_m(\Gamma_s) G_k G_l, \quad (9)$$

где мы учли наибольшие вклады, линейные по  $\epsilon$  и  $u_m$  и квадратичные по  $G$ . Упругую энергию представим в виде

$$\Phi_y = \frac{1}{2} C_{ijkl}^0 \epsilon_{ij} \epsilon_{kl} + C_{ij}^n(\Gamma_s) u_n(\Gamma_s) \epsilon_{ij} + \frac{1}{2} C^{nm}(\Gamma_s) u_n(\Gamma_s) u_m(\Gamma_s), \quad (10)$$

Минимизируя  $\Phi_{my} + \Phi_y$  по  $\epsilon$  и  $u_m$ , можно определить равновесные значения  $u_m$  и  $\epsilon$ . Подставляя найденные выражения  $\epsilon$  и  $u_m$  в (5), получим основное соотношение для анализа магнитоупругооптических эффектов [14]

$$\begin{aligned} \epsilon_{ij}(\Gamma_s) &= \epsilon_{ij}^0(\Gamma_s) + P_{ijkl}(\Gamma_s) \epsilon_{kl}(\Gamma_s) + \mathcal{P}_{ijab}(\Gamma_s) G_a G_b, \\ \mathcal{P}_{ijab}(\Gamma_s) &= - \sum_{mn} P_{ij}^n(\Gamma_s) [C^{-1}(\Gamma_s)]^{nm} B_{ab}^m(\Gamma_s). \end{aligned} \quad (11)$$

Таким образом, магнитоупругооптический эффект в соответствии с (11) включает два вклада: первый чисто магнитострикционной природы определяется обычными упругооптическими константами  $P_{ijkl}$ ; второй обусловлен только учетом магнитоупругих смещений [14] и не зависит от магнитострикционных деформаций. Другими словами, магнитоупругооптический эффект возможен даже в отсутствие магнитострикции. Количественный расчет магнитоупругооптических констант  $\mathcal{P}_{ijab}$  сложен. Ниже мы воспользуемся данными модельных расчетов упругих параметров  $C^{nm}$  работы [14], магнитоупругих параметров  $B_{ab}^m$  работы [10] и упругооптических параметров  $P_{ij}^n$  работ [3, 14]. Расчетные значения констант  $\mathcal{P}_{ijab}$  для  $\text{YFeO}_3$  ( $\lambda=0.63$  мкм,  $T=300$  К) приведены в табл. 1. Они достигают относительно больших величин  $\sim 10^{-4}$  и могут определять эффективное магнитное двупреломление  $\Delta n$  ( $my$ )  $\sim 10^{-5} \div 10^{-4}$ . Для иллюстрации практической значимости магнитоупругооптического эффекта в ортоферритах рассчитаем изменение двупреломления  $\text{YFeO}_3$  при спин-переориентационном переходе  $\Gamma_4 \rightarrow \Gamma_2$  ( $G_x \rightarrow G_z$ ), индуцированном внешним магнитным полем  $H \parallel a$ -оси. При этом полная переориентация достигалась в поле  $H=75$  кЭ и сопровождалась магнитострикционными деформациями [15]:  $\epsilon_{yy} = \epsilon_{yy}^0 \sin^2 \theta$ ,  $\epsilon_{zz} = \epsilon_{zz}^0 \sin 2\theta$  с  $\epsilon_{yy}^0 = 1.8 \cdot 10^{-5}$ ,  $\epsilon_{yy}^0 = 1.8 \cdot 10^{-5}$ ,  $\epsilon_{zz}^0 = -3.7 \cdot 10^{-5}$ ,  $|\epsilon_{zz}| = 0.3 \cdot 10^{-5}$ . Знание этих величин и

упругооптических констант (табл. 1) позволило нам рассчитать чисто магнитострикционный вклад в изменение двупреломления для различных плоскостей  $\Delta n_{ab}$ ,  $\Delta n_{bc}$ ,  $\Delta n_{ac}$  ( $\Delta n_{ij} = \Delta(n_i - n_j)$ ), а также максимальное значение  $\epsilon_{xz}$  при переходе  $\Gamma_4 \rightarrow \Gamma_2$  в  $\text{YFeO}_3$  ( $\lambda = 0.63$  мкм,  $T = 300$  К).

В табл. 2 представлены расчетные значения чисто магнитострикционного вклада, вклада магнитоупругих смещений и суммарного магнитоупругого вклада в величины  $\Delta n$ ,  $\epsilon_{xz}^0$ , а также экспериментальные данные работы [18]. Сравнивая расчетные и экспериментальные данные, отметим, что оба магнитоупругих вклада в изменение двупреломления в целом сравнимы по величине, что свидетельствует о необходимости учета в ортоферритах как известного магнитострикционного механизма, так и относительно нового вклада магнитоупругих смещений в двупреломление. Расчетные значения суммарного магнитоупругого вклада в изменение двупреломления при переходе  $\Gamma_4 \rightarrow \Gamma_2$  по величине хорошо согласуются с экспериментом, что позволяет сделать вывод о превалирующей роли магнитоупругооптических эффектов в магнитном двупреломлении ортоферрита  $\text{YFeO}_3$ .

Таблица 2

Значения различных вкладов в изменение двупреломления при СП переходе  $\Gamma_4 \rightarrow \Gamma_2$ , (в единицах  $10^{-4}$ )

| $\Delta n_{ij}, \epsilon_{xz}^0$                      | $\Delta n_{ab}$ | $\Delta n_{ac}$ | $\Delta n_{bc}$ | $\epsilon_{xz}^0$ |
|---|-----------------|-----------------|-----------------|-------------------|
| Магнитострикционный вклад                             | -0.1            | 1.7             | 1.8             | $\pm 0.3$         |
| Вклад скрытых смещений                                | -0.7            | 0.1             | 0.8             | $\pm 0.7$         |
| Суммарный магнитоупругий вклад                        | -0.8            | 1.8             | 2.6             | $\pm 1.0$         |
| Эксперимент [18] ( $\lambda = 0.63$ мкм, $T = 300$ К) | $-0.6 \pm 0.4$  | $2.0 \pm 0.2$   | $2.6 \pm 0.2$   | $\pm 0.7$         |

Простая деформационная модель, основанная на связи поляризуемости комплексов  $\text{FeO}_6^{0-}$  с их деформацией, позволяет объяснить наблюдаемые особенности естественного двупреломления ортоферритов  $\text{RFeO}_3$ , а также рассчитать все упругооптические константы и магнитоупругооптические эффекты в ортоферритах типа  $\text{YFeO}_3$ . Важную роль в упругооптических и магнитоупругооптических эффектах играет наряду с макродеформацией решетки скрытые смещения подрешеток. Учет скрытых смещений приводит к перенормировке упругооптических констант, а также к появлению наряду с чисто магнитострикционным конкурирующего с ним по величине дополнительного вклада магнитоупругих смещений в магнитное двупреломление.

Проведенный в данной работе качественный и количественный анализ особенностей магнитоупругооптических эффектов может быть использован при рассмотрении и других соединений. Во всех случаях нужно иметь в виду, что знание только упругооптических констант типа  $P_{ijkl}$  и макродеформации  $\hat{\epsilon}$  кристалла, вообще говоря, недостаточно для корректного анализа упругооптических и особенно магнитоупругооптических эффектов. Действительно, при одной и той же макродеформации кристалла, вызванной: а) приложением внешнего механического напряжения, б) изменением температуры без изменения магнитного порядка, в) изменением температуры с изменением магнитного порядка, г) приложением внешнего магнитного поля и т. д., скрытые смещения подрешеток в кристалле, а значит, и двупреломление будут, вообще говоря, различными. По-видимому, именно с этими обстоятельствами связан противоположный характер изменения двупреломления  $\text{MnF}_2$  [17] при изменении температуры и приложении давления, сопровождаемых одинаковой макродеформацией. Магнитное двупреломление феррита-граната иттрия  $\text{Y}_3\text{Fe}_5\text{O}_{12}$ , несмотря на малость чисто магнитострикционного вклада [18], тем не менее может быть обусловлено магнитоупругооптическим эффектом с пре-

валирующим вкладом магнитоупругих смещений. Кстати, для этого достаточно, чтобы константы  $\mathcal{P}_{ijil}$  в ортоферрите  $\text{YFeO}_3$  и феррите-гранате  $\text{Y}_3\text{Fe}_5\text{O}_{12}$  имели один порядок величины.

### Л и т е р а т у р а

- [1] Marezio M., Remeika J. P., Dernier P. D. Acta Cryst., 1970, vol. B26, N 12, p. 2008—2022.
- [2] Уайт Р. УФН, 1971, т. 103, № 4, с. 593—607.
- [3] Туров Е. А., Найш В. Е. ФММ, 1960, т. 9, № 1, с. 10—18.
- [4] Чепкин М. В., Диодсян Ю. С., Ахуткина А. И., Червоненкис А. Я. Письма в ЖЭТФ, 1970, т. 12, № 11, с. 519—520.
- [5] Clover R. B., Wentworth C., Mroczkowski S. S. IEEE Trans. Magn., 1971, vol. 7, N 3, p. 480—483.
- [6] Tabor W. J., Anderson A. W., Van Uitert L. G. J. Appl. Phys., 1970, vol. 41, N 7, p. 3018—3021.
- [7] Чепкин М. В., Диодсян Ю. С., Ахуткина А. И. ФТТ, 1971, т. 13, № 11, с. 3414—3417.
- [8] Clover R. B., Rayl M., Gutman D. Magn. and Magn. Mater. 17<sup>th</sup> AIP Ann. Conf. Chicago, Ill. 1971, Part 1. N. Y., 1972, p. 264—268.
- [9] Гудков В. Г. Автореф. канд. дис. Свердловск, УрГУ, 1983. 19 с.
- [10] Агафонов А. П. Автореф. канд. дис. Свердловск, УрГУ, 1982. 20 с.
- [11] Jahn I. R. Phys. St. Sol. (b), 1973, vol. 57, N 2, p. 681—692.
- [12] Belanger D. P., King A. R., Jaccarino Y. Phys. Rev., 1984, vol. B29, N 5, p. 2636—2640.
- [13] Sosnowska I., Fischer P. Neutron Scatter Symp. Argonne, 1981, Ill Aug. 12—14, N. Y., 1982, p. 346—348.
- [14] Москвин А. С., Латыпов Д. Г., Агафонов А. П. Деп. ВИНИТИ, № 6538-В86, 1986.
- [15] Кадомцева А. М., Агафонов А. П., Милов В. Н., Москвин А. С., Семенов В. А. Письма в ЖЭТФ, 1981, т. 33, № 8, с. 400—403.
- [16] Кричевцев Б. Б., Писарев Р. В., Рувинштейн М. М. ФТТ, 1980, т. 22, № 7, с. 2128—2133.
- [17] Марковин П. А., Писарев Р. В. ЖЭТФ, 1979, т. 77, № 6, с. 2461—2476.
- [18] Писарев Р. В., Синий И. Г., Смоленский Г. А. ФТТ, 1970, т. 12, № 1, с. 118—123.

Уральский государственный университет  
им. А. М. Горького  
Свердловск

Поступило в Редакцию  
2 сентября 1986 г.  
В окончательной редакции  
23 июля 1987 г.